

Полученные решения описывают однородную и изотропную Вселенную в эффективном пространстве, в пространстве же Минковского Вселенная (4)—(5) уже не является однородной и изотропной.

Автор благодарен А. А. Логунову и М. А. Мествиришвили за полезные обсуждения.

СПИСОК ЛИТЕРАТУРЫ

- [1] Власов А. А., Логунов А. А.//ТМФ. 1986. 69, № 3. С. 341. [2] Власов А. А.//Вестн. Моск. ун-та. Физ. Астрон. 1988. 29, № 1. С. 87; № 2. С. 78. [3] Власов А. А., Логунов А. А.//ТМФ. 1987. 70, № 2. С. 171. [4] Уилл К. Теория и эксперимент в гравитационной физике. М., 1985.

Поступила в редакцию
12.10.88

ВЕСТН. МОСК. УН-ТА. СЕР. 3. ФИЗИКА. АСТРОНОМИЯ. 1989. Т. 30, № 3

АТОМНАЯ И ЯДЕРНАЯ ФИЗИКА

УДК 539.14:539.124

ВЛИЯНИЕ ЭЛЕКТРИЧЕСКИХ ЯДЕРНЫХ ФОРМФАКТОРОВ НА ОБРАЗОВАНИЕ δ -ЭЛЕКТРОНОВ РЕЛЯТИВИСТСКИМИ ЯДРАМИ

Б. И. Горячев, Н. В. Линькова

(НИИЯФ)

На основе предложенной модельной функции электрического ядерного формфактора от переданной энергии получены аналитические выражения сечений и энергетических потерь, связанных с процессом образования δ -электронов релятивистскими ядрами.

Исследование прохождения релятивистских ядер через вещество стимулируется в настоящее время развитием экспериментальной ядерной физики высоких энергий и астрофизики космических лучей.

При взаимодействии налетающих ядер с атомными электронами, которое определяет ионизационные потери ядер, энергия Q , передаваемая электронам, ограничивается за счет электромагнитных ядерных формфакторов [1, 2]. Это приводит к эффекту уменьшения тормозной способности, по порядку величины равному эффекту плотности [3]. Пренебрегая малым влиянием магнитных моментов ядер-снарядов и следуя [1, 2], получаем выражение для сечения образования δ -электронов σ_δ в интервале $\{Q_{\min}, Q_{\max}\}$ в расчете на атом среды:

$$\sigma_\delta(x_{\min}, x_{\max}) = \pi r_0^2 Z_p^2 Z_T^2 \int_{x_{\min}}^{x_{\max}} [x^{-2} - \gamma^{-2} x^{-1} - 2\gamma^{-1} m_e M^{-1} (x+1)^{-1}] G_E^2(x) dx = K [F(x_{\max}) - F(x_{\min})], \quad (1)$$

где r_0 и m_e — соответственно классический радиус и масса электрона; M , G_E и γ — масса, электрический формфактор и лоренц-фактор ядра-снаряда; Z_p и Z_T — атомные номера налетающего ядра и ядра-мишени соответственно; $K = \pi r_0^2 Z_p^2 Z_T^2$. Параметр $x = Q/2m_e c^2$ численно равен энергии Q , выраженной в мегаэлектрон-вольтах. Формула (1) справедлива при $x \ll (M/m_e)^2$. Функция

$$F(x, A) = F_1(x, A) - \gamma^{-2} F_2(x, A) - \gamma^{-1} \cdot 1,1 \cdot 10^{-3} A^{-1} F_3(x, A), \quad (2)$$

где A — атомный вес ядра-снаряда, причем F_i ($i=1, 2, 3$) приобретают зависимость от A за счет зависимости $G_E(A)$.

Цель настоящей работы — получить аналитические выражения для сечений и энергетических потерь, связанных с процессом образования δ -электронов, опираясь

на модельную функцию $G_E(A, x)$. Для легких и средних ядер в качестве таковой можно предложить функцию Ферми по x :

$$G_E(x, A) = (C+1)[C + \exp(1,43 \cdot 10^{-2} A^{1/4} x)]^{-1}, \quad (3)$$

где $C=39,3$. Эта функция отвечает ферми-распределению ядерной плотности*. Вычисляя возникающие в (1) интегралы и обозначая $Y = \exp(1,43 \cdot 10^{-2} A^{1/4} x)$, $Z = 39,3 + Y$, получаем

$$\begin{aligned} F_1(x, A) = & -0,948x^{-1} - 1,028 \cdot 10^4 A^{-1/2} x^{-3} \ln(0,97 + 2,5 \cdot 10^{-2} Y) - \\ & - 7,35 \cdot 10^1 A^{-1/4} x^{-2} [\ln(0,97 + 2,5 \cdot 10^{-2} Y) + YZ^{-1} - 7,44 \cdot 10^{-2}] + \\ & + 1,5 \cdot 10^{-2} A^{1/4} \{5,7 \cdot 10^{-2} \ln[2 \cdot 10^{-6} x^2 (1 + 2 \cdot 10^{-6} x^2)^{-1}] - \\ & - 3,38 \cdot 10^{-1} \operatorname{arctg}(2,5 \cdot 10^{-3} A^{1/4} x) - 2,22 \cdot 10^{-2} \operatorname{arctg}(1,43 \cdot 10^{-3} A^{1/4} x) - \\ & - 5,66 \cdot 10^{-2} \ln[2,4 \cdot 10^{-4} A^{1/2} x^2 (40,3 + 2,4 \cdot 10^{-4} A^{1/2} x^2)]\}. \end{aligned} \quad (4)$$

Функция $F_2(x, A)$, роль которой быстро убывает по мере роста лоренц-фактора γ , имеет следующий вид:

$$\begin{aligned} F_2(x, A) = & 1,05 \ln x + 3,9 \cdot 10^{-1} \operatorname{arctg}(1,43 \cdot 10^{-3} A^{1/4} x) - \\ & - 3,55 \cdot 10^{-1} \operatorname{arctg}(2,5 \cdot 10^{-3} A^{1/4} x) - 5,12 \cdot 10^{-1} \ln(40,3 + 2,4 \cdot 10^{-4} A^{1/2} x^2) - \\ & - 1,3 \cdot 10^{-2} \ln(2,4 \cdot 10^{-4} A^{1/2} x^2) + 3,9 \cdot 10^{-2} \ln[2 \cdot 10^{-6} x^2 (1 + 2 \cdot 10^{-6} x^2)^{-1}] - \\ & - 5,15 \cdot 10^3 A^{-1/2} x^{-2} \ln(0,97 + 2,5 \cdot 10^{-2} Y) - \\ & - 7,35 \cdot 10^1 A^{-1/4} x^{-1} [\ln(0,97 + 2,5 \cdot 10^{-2} Y) + YZ^{-1} - 4,96 \cdot 10^{-2}]. \end{aligned} \quad (5)$$

Учитывая большой фактор подавления $\gamma^{-1}(m_e/M)$, можно опустить второстепенные члены и получить

$$\begin{aligned} F_3(x, A) = & 1,05 \ln(x+1) + 1,05x(x+1)^{-1} - 5,2 \cdot 10^{-1} \ln(x^2 + 1,65 \cdot 10^9 A^{-1/2}) + \\ & + 3,9 \cdot 10^{-1} \operatorname{arctg}(1,43 \cdot 10^{-3} A^{1/4} x) - 3,6 \cdot 10^{-1} \operatorname{arctg}(2,5 \cdot 10^{-3} A^{1/4} x) - \\ & - 7,3 \cdot 10^1 A^{-1/4} (x+1)^{-1} [YZ^{-1} + \ln(0,97 + 2,5 \cdot 10^{-2} Y)] - \\ & - 5,1 \cdot 10^3 A^{-1/2} (x+1)^{-2} \ln(0,97 + 2,5 \cdot 10^{-2} Y). \end{aligned} \quad (6)$$

Максимальное значение x_{\max} ограничено сверху кинематическим пределом

$$x_{\max}^0 = \gamma^2(1 + 1,1 \cdot 10^{-3} A^{-1} \gamma)^{-1}. \quad (7)$$

Величина x_{\min} определяется условиями эксперимента и обуславливает величину сечения σ_b , поскольку $d\sigma_b/dx$ быстро падает с ростом x . На рисунке изображены нормированные сечения σ_b/K , рассчитанные по формулам (1)–(7), в зависимости от x_{\min} для ^{12}C и ^{56}Fe . Приведены кривые, отвечающие $\gamma=10, 25$ и 10^3 . Сечение σ_b практически не зависит от γ для $\gamma > 50$. Для сравнения на рисунке даны также результаты расчета для мюона (при $\gamma=10^3$). Как видно из рисунка, подавляющее влияние электрического формфактора на σ_b увеличивается с ростом x_{\min} и A .

Средние ионизационные потери налетающего ядра в расчете на энергетический интервал $\{Q_{\min}, Q_{\max}\}$ могут быть получены по формуле

$$\begin{aligned} \left| \frac{dE}{dx} \right| (\text{МэВ} \cdot \text{см}^2 \cdot \text{г}^{-1}) = & 2K m_e c^2 N_A A_T^{-1} \int_{x_{\min}}^{x_{\max}} [x^{-1} - \gamma^{-2} - 2\gamma^{-1} m_e M^{-1} x (x + \\ & + 1)^{-1}] G_E^2(x, A) dx = 2K m_e c^2 N_A A_T^{-1} [P(x_{\max}, A) - P(x_{\min}, A)], \end{aligned} \quad (8)$$

* Функция (3) хорошо аппроксимирует разложение электрических ядерных формфакторов по степеням переданного импульса и радиальным моментам ядерной плотности [4], если эти моменты рассчитываются согласно модели Ферми [5].

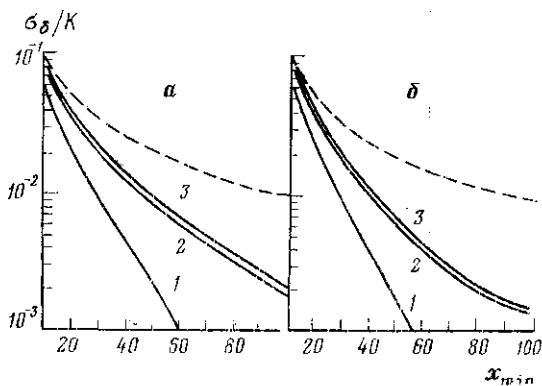
где N_A — число Авогадро и A_T — атомный вес ядра-мишени. В формуле (8)

$$P(x, A) = P_1(x, A) - \gamma^{-2} P_2(x, A) - \gamma^{-1} \cdot 1,1 \cdot 10^{-3} A^{-1} P_3(x, A), \quad (9)$$

причем $P_1(x, A) = F_2(x, A)$, $P_3(x, A) = P_2(x, A) - F_3(x, A)$, $P_2(x, A) = 1,05x - 7,35 \cdot 10^{-1} A^{-1/4} \ln Z + 2,89 \cdot 10^8 A^{-1/4} \cdot Z^{-1}$.

Средние энергии δ -электронов в интервале $\{Q_{\min}, Q_{\max}\}$ можно рассчитать следующим образом:

$$\bar{Q}(x_{\min}, x_{\max}, A) = 2m_e c^2 [P(x_{\max}, A) - P(x_{\min}, A)] [F(x_{\max}, A) - F(x_{\min}, A)]^{-1}. \quad (10)$$



Нормированные сечения образования δ -электронов σ_δ/K в зависимости от x_{\min} для ^{12}C (а) и ^{56}Fe (б) при $\gamma=10$ (1), 25 (2), 10^3 (3) и для мюонов при $\gamma=10^3$ (пунктир)

Расчеты по приведенным формулам (2)–(6), (9) и (10) показывают, что

$$(\bar{Q}/2m_e c^2) \simeq x_{\min} \ln(x_c/x_{\min}),$$

где x_c характеризует уровень обрезания энергий δ -электронов за счет фактора G_E (для ^{12}C $x_c \simeq 170$ и для ^{56}Fe $x_c \simeq 115$). Оказывается, что $G_E^2(x_c) \simeq 0,1$. Соотношение (11) справедливо при $x_{\min} \ll x_c$. Если при этом выполняется неравенство $x_c \ll x_{\max}$, то \bar{Q} очень слабо зависит от x_{\max} . Для ультрарелятивистских ядер в случае $x_{\max} = x_{\max}^0$ это приводит к почти полной независимости \bar{Q} от γ .

СПИСОК ЛИТЕРАТУРЫ

- [1] Turner J. E. et al.//Phys. Rev. 1969. 183, N 2. P. 453. [2] Turner J. E. et al.//Phys. Rev. 1973. V8, N 1. P. 4053. [3] Потемкин Е. Л., Смирнов В. В., Фролов В. В.//Ядерная физика. 1978. 27, № 4. С. 900. [4] Горячев Б. И., Линькова Н. В.//Препринг ФИАН № 237. М., 1988. [5] Бор О., Моттelson Б. Структура атомного ядра. М., 1971. Т. 1. С. 161.

Поступила в редакцию
14.07.88